

# [Figuren 3]

Objekttyp: **Appendix**

Zeitschrift: **Bericht der Eidgenössischen Kommission zur Überwachung der Radioaktivität**

Band (Jahr): **29 (1985-1986)**

Heft 2: **Figuren und Tabellen**

PDF erstellt am: **17.07.2024**

## **Nutzungsbedingungen**

Die ETH-Bibliothek ist Anbieterin der digitalisierten Zeitschriften. Sie besitzt keine Urheberrechte an den Inhalten der Zeitschriften. Die Rechte liegen in der Regel bei den Herausgebern.

Die auf der Plattform e-periodica veröffentlichten Dokumente stehen für nicht-kommerzielle Zwecke in Lehre und Forschung sowie für die private Nutzung frei zur Verfügung. Einzelne Dateien oder Ausdrucke aus diesem Angebot können zusammen mit diesen Nutzungsbedingungen und den korrekten Herkunftsbezeichnungen weitergegeben werden.

Das Veröffentlichen von Bildern in Print- und Online-Publikationen ist nur mit vorheriger Genehmigung der Rechteinhaber erlaubt. Die systematische Speicherung von Teilen des elektronischen Angebots auf anderen Servern bedarf ebenfalls des schriftlichen Einverständnisses der Rechteinhaber.

## **Haftungsausschluss**

Alle Angaben erfolgen ohne Gewähr für Vollständigkeit oder Richtigkeit. Es wird keine Haftung übernommen für Schäden durch die Verwendung von Informationen aus diesem Online-Angebot oder durch das Fehlen von Informationen. Dies gilt auch für Inhalte Dritter, die über dieses Angebot zugänglich sind.

Fig. 3.1: Ortsdosisleistung gemessen mit Ionisationskammern in der Umgebung der KKW. (1985)

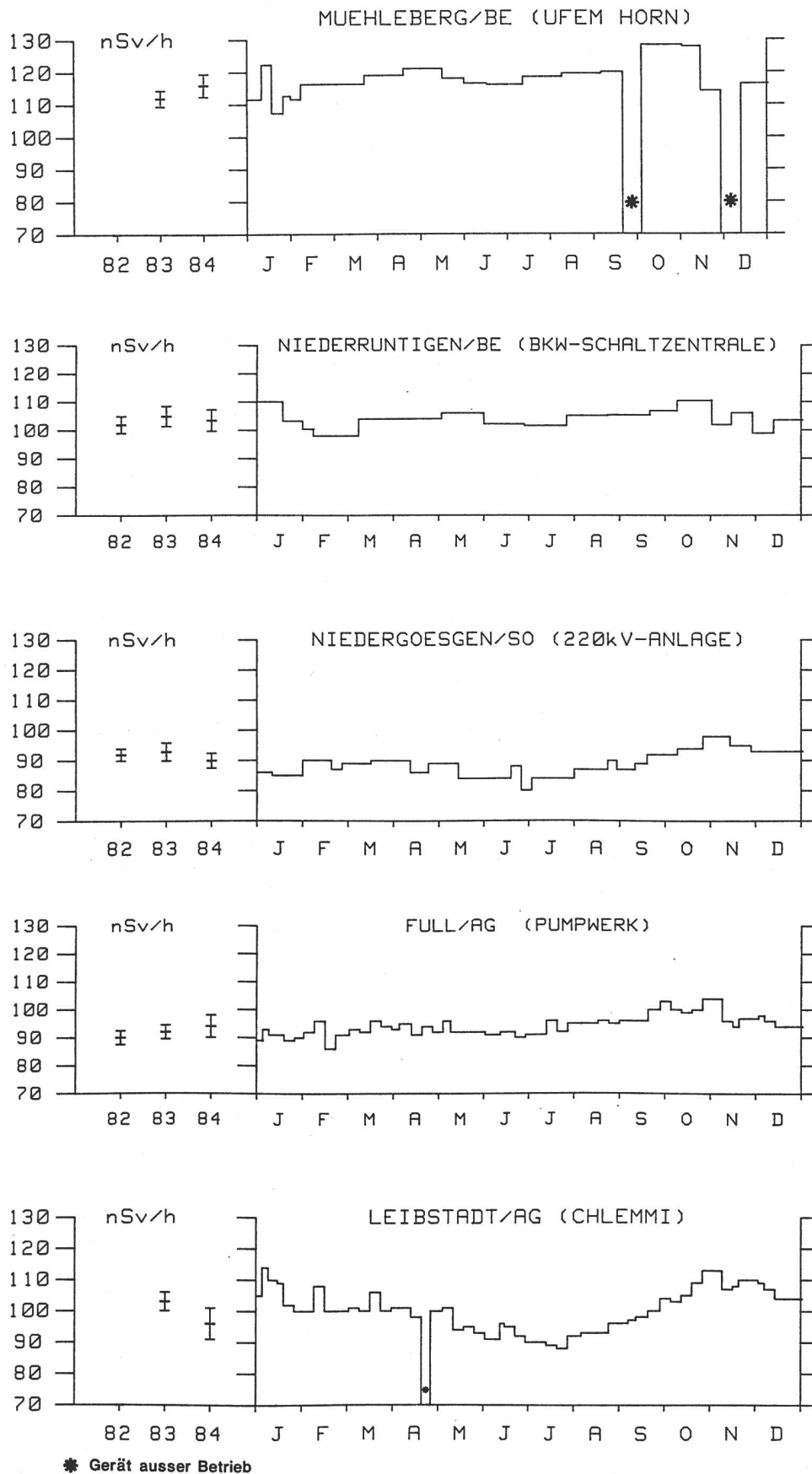


Fig. 3.2.a: Ortsdosisleistung beim KKW Muehleberg, 1986

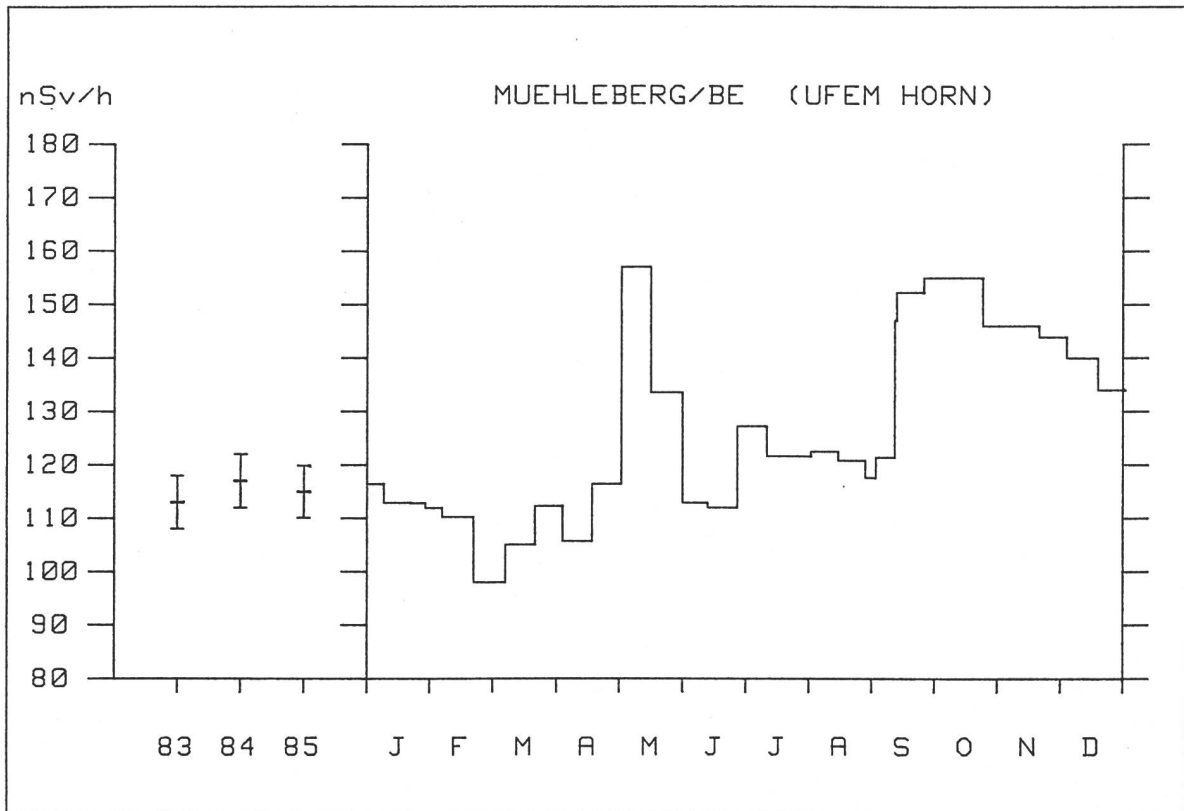


Fig. 3.2.b: Ortsdosisleistung beim KKW Muehleberg, 1986

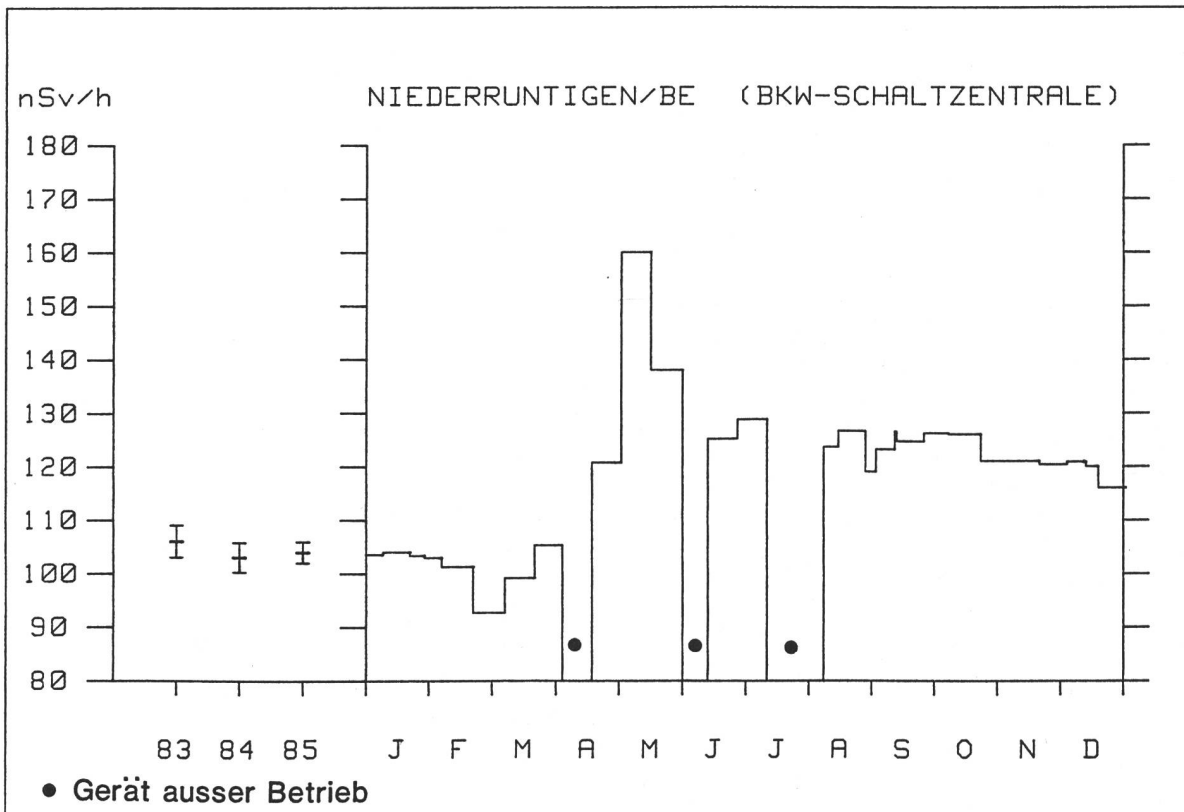


Fig. 3.3.a : Ortsdosisleistung beim KKW Leibstadt, 1986

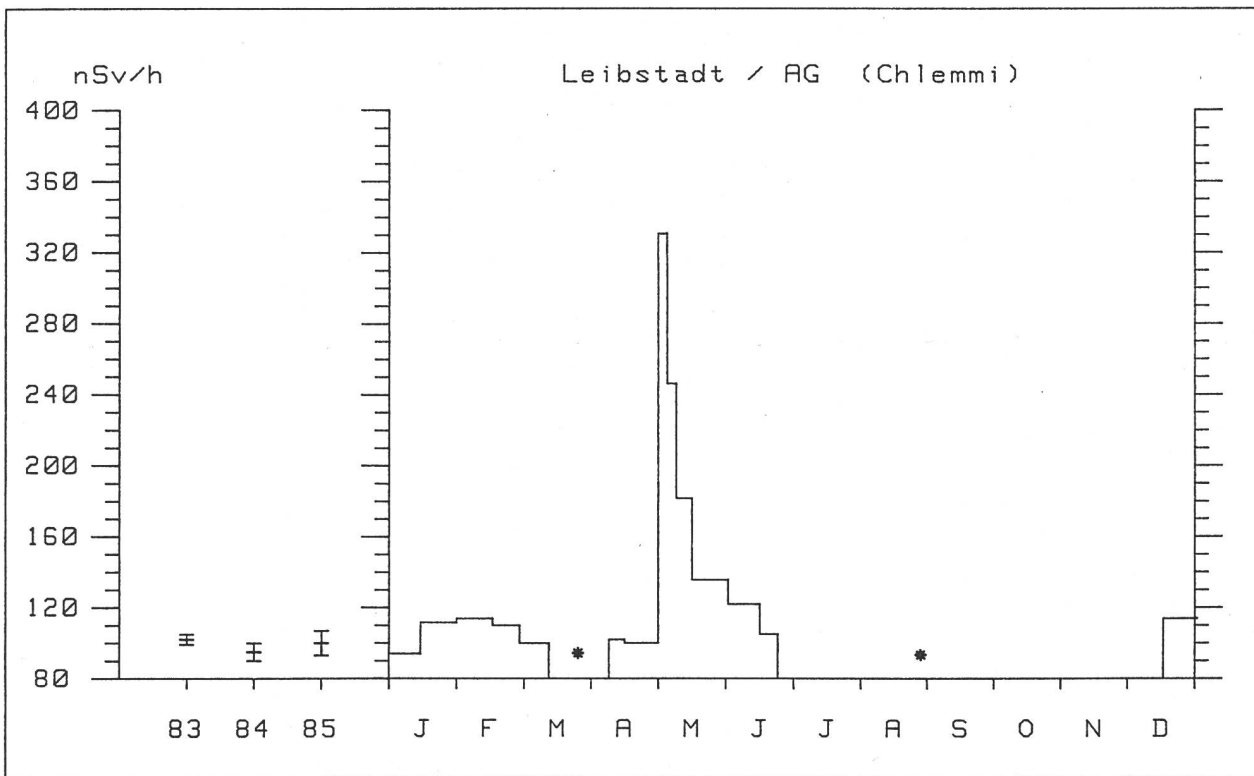
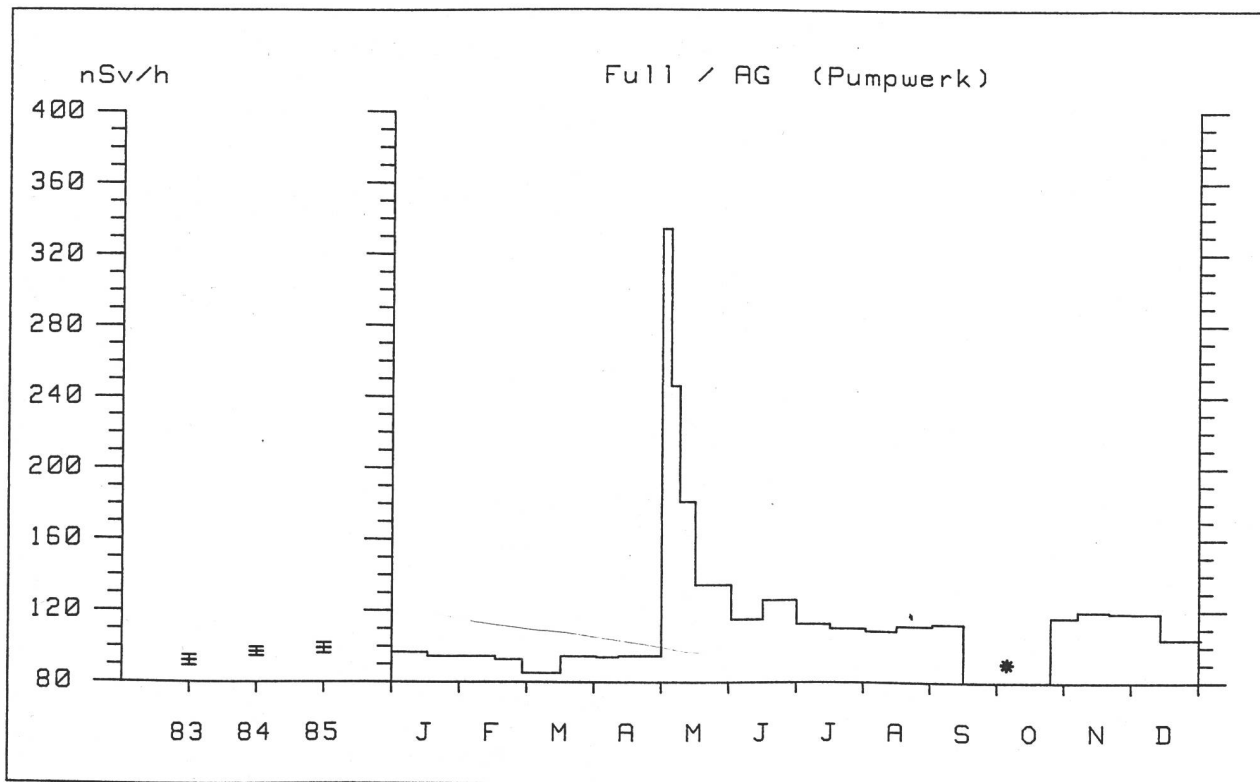


Fig. 3.3.b : Ortsdosisleistung beim KKW Leibstadt, 1986



\* Gerät ausser Betrieb

Fig. 3.3.c: Ortsdosisleistung gemessen mit SBN-90 (HSK)  
UMGEBUNG KKW BEZNAU 1985 (WKW BEZNAU)

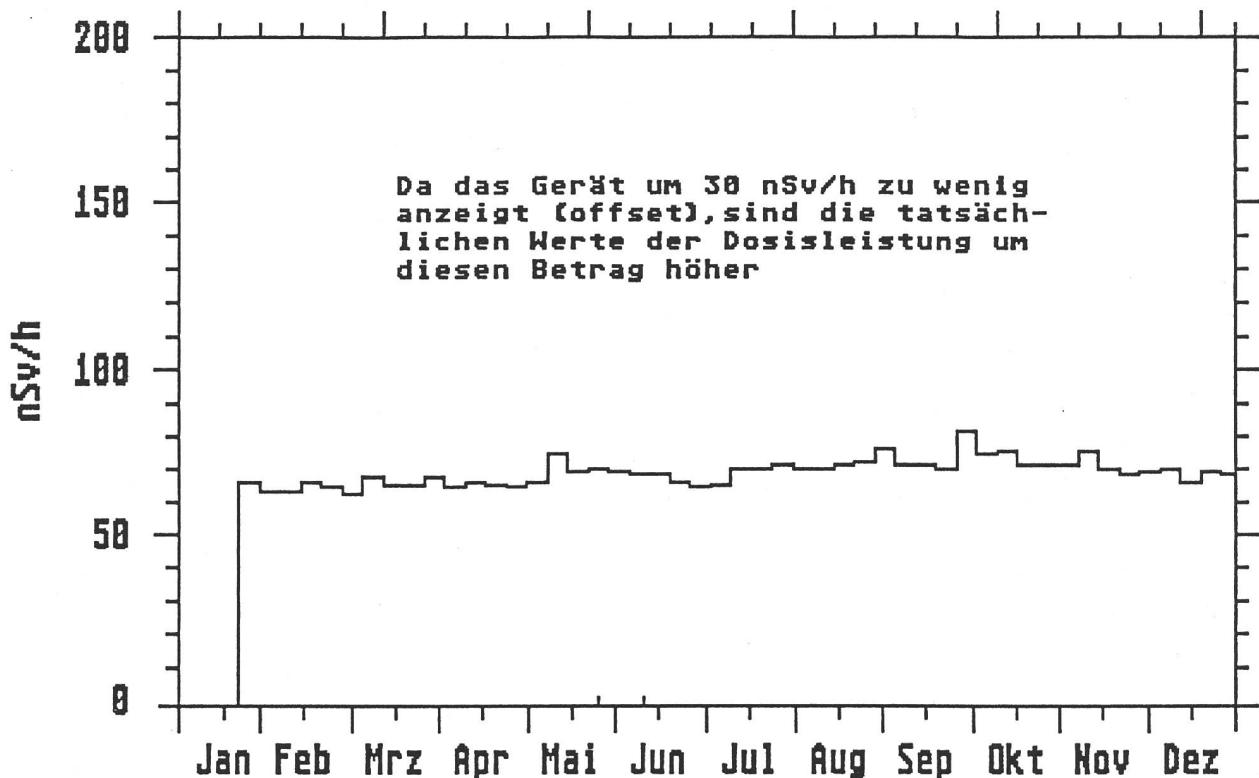


Fig. 3.3.d: Ortsdosisleistung gemessen mit SBN-90 (HSK)  
UMGEBUNG KKW BEZNAU 1986 (WKW BEZNAU)

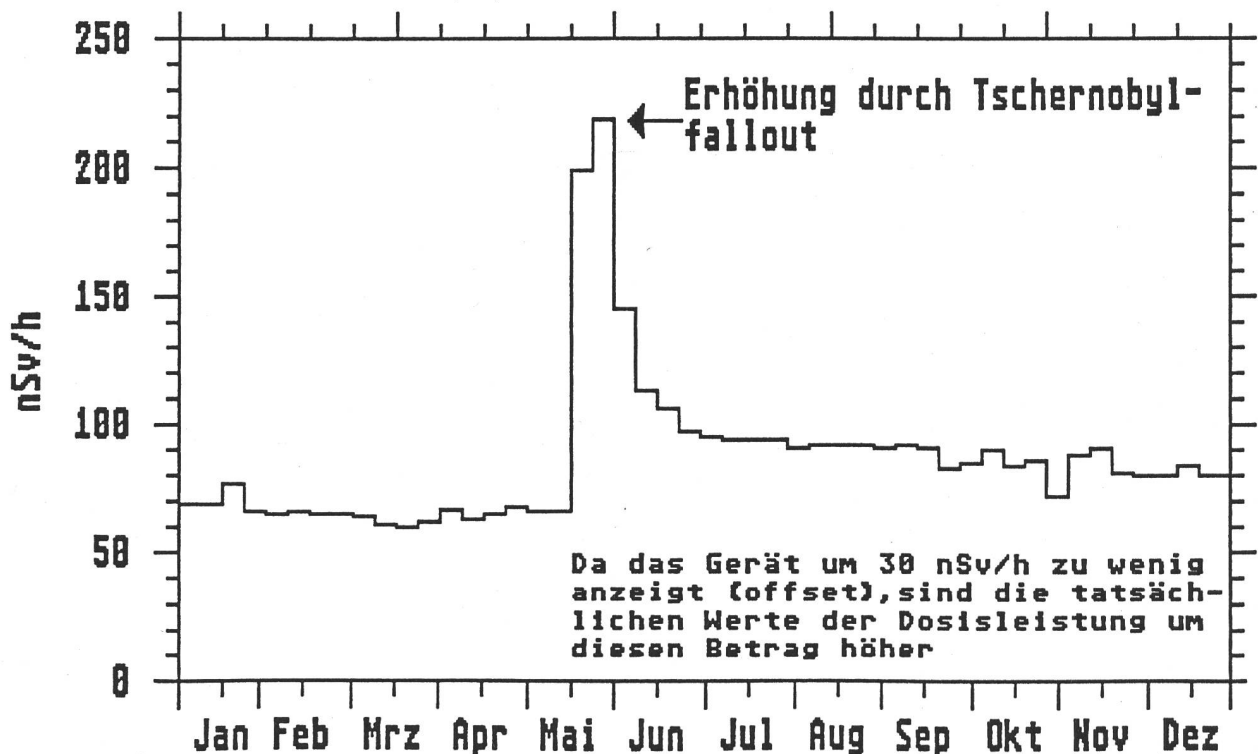


Fig. 3.4.a - d :

AUF VASELINPLATTEN ABGELAGERTE GESAMT- $\beta$ -AKTIVITÄT  
(Mittel aller Vaseline-Platten pro Kernanlage)

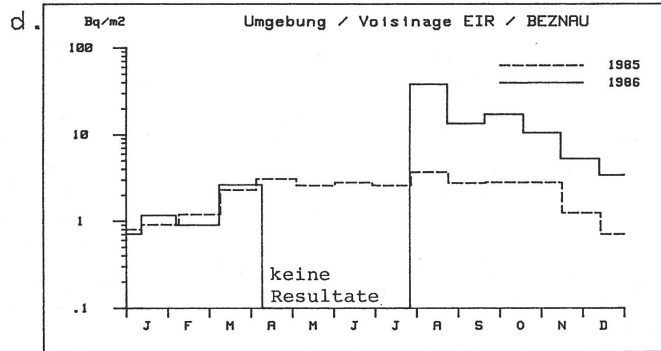
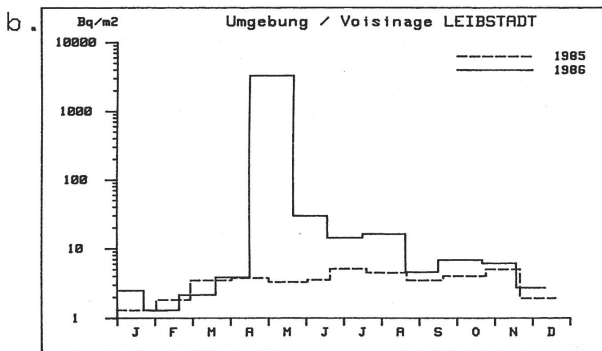
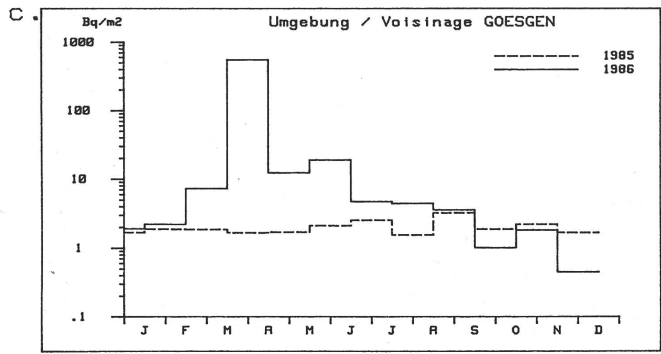
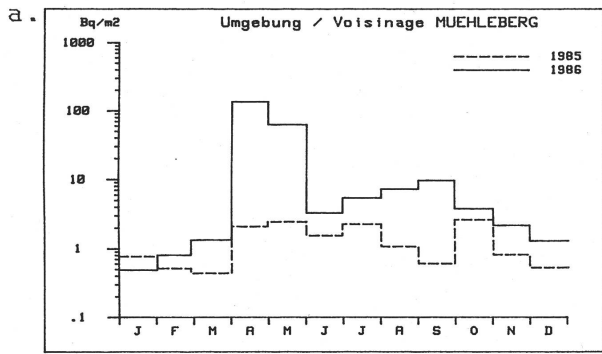


Fig. 3.4.e-f : Auf Vaselinplatten abgelagerte Gesamt- $\beta$ -Aktivität

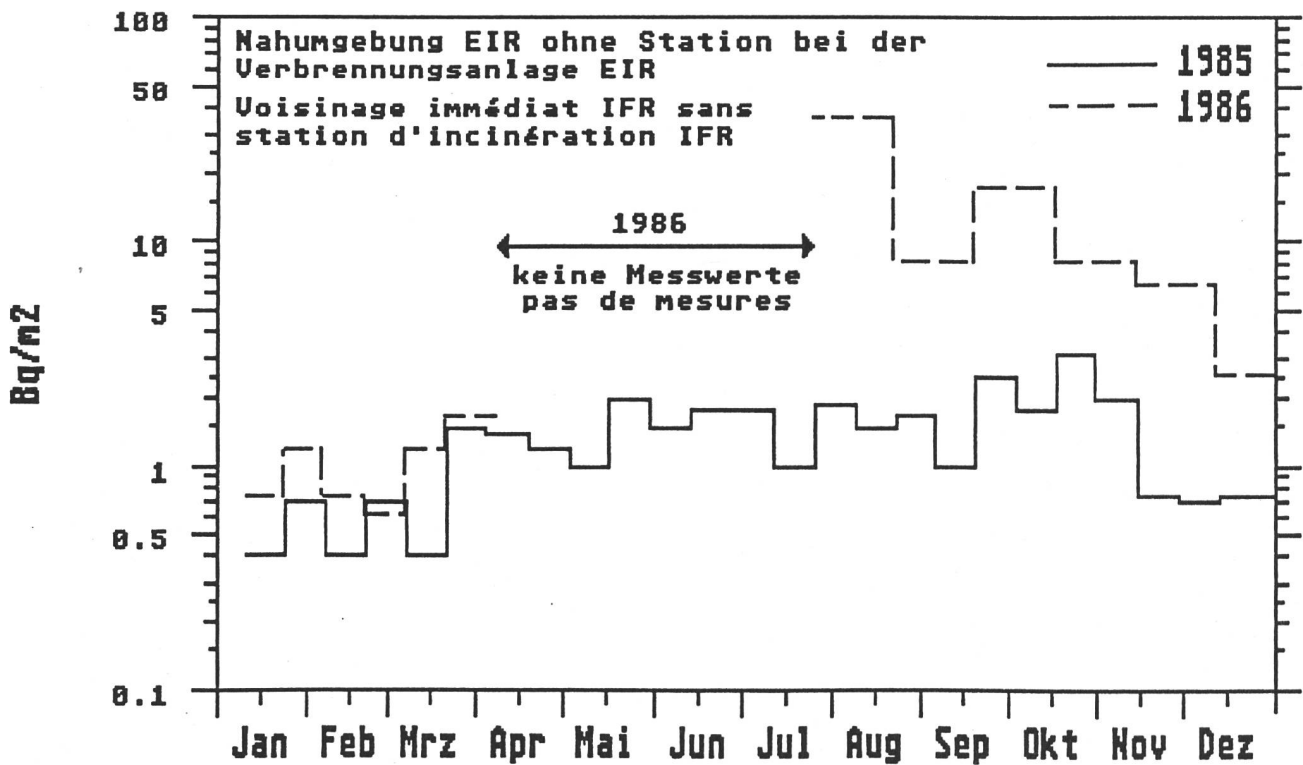
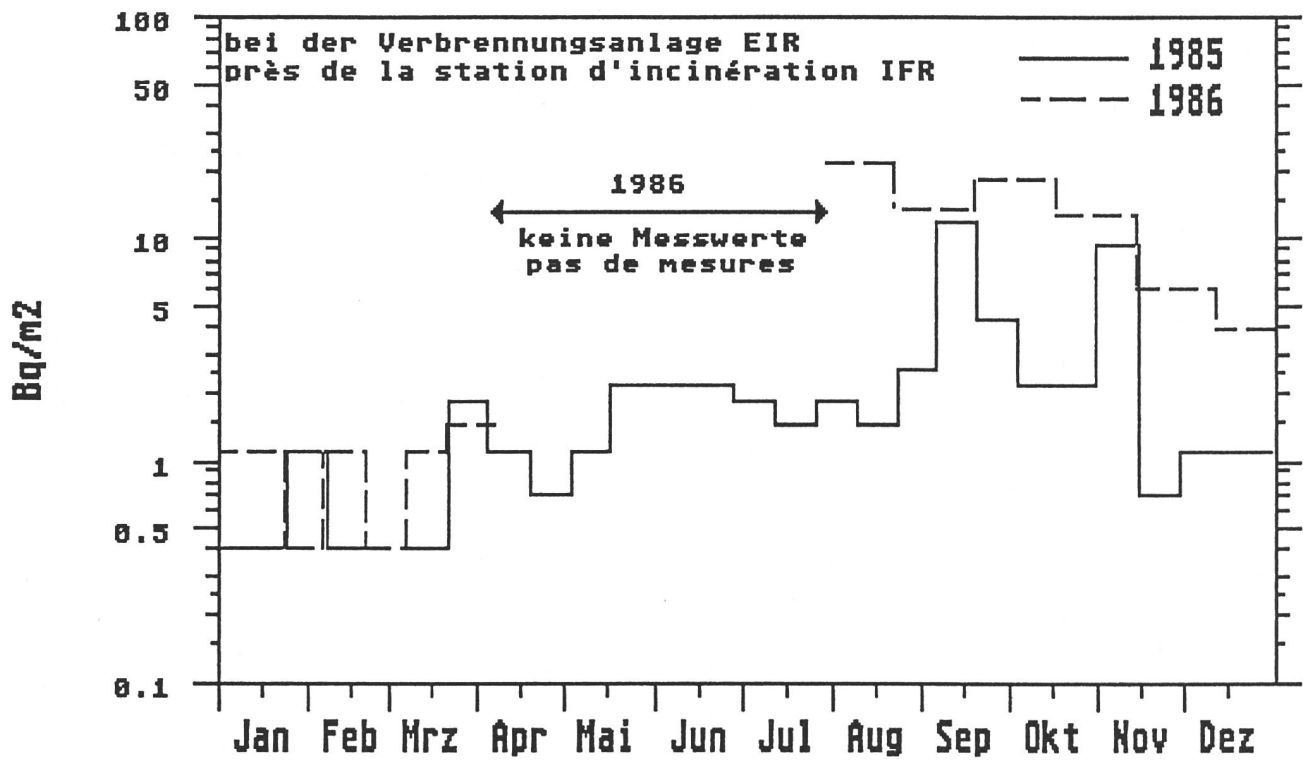


Fig. 3.5: TRITIUM IN DEN NIEDERSCHLÄGEN  
BEIM KKW MUEHLEBERG (UFEM HORN)

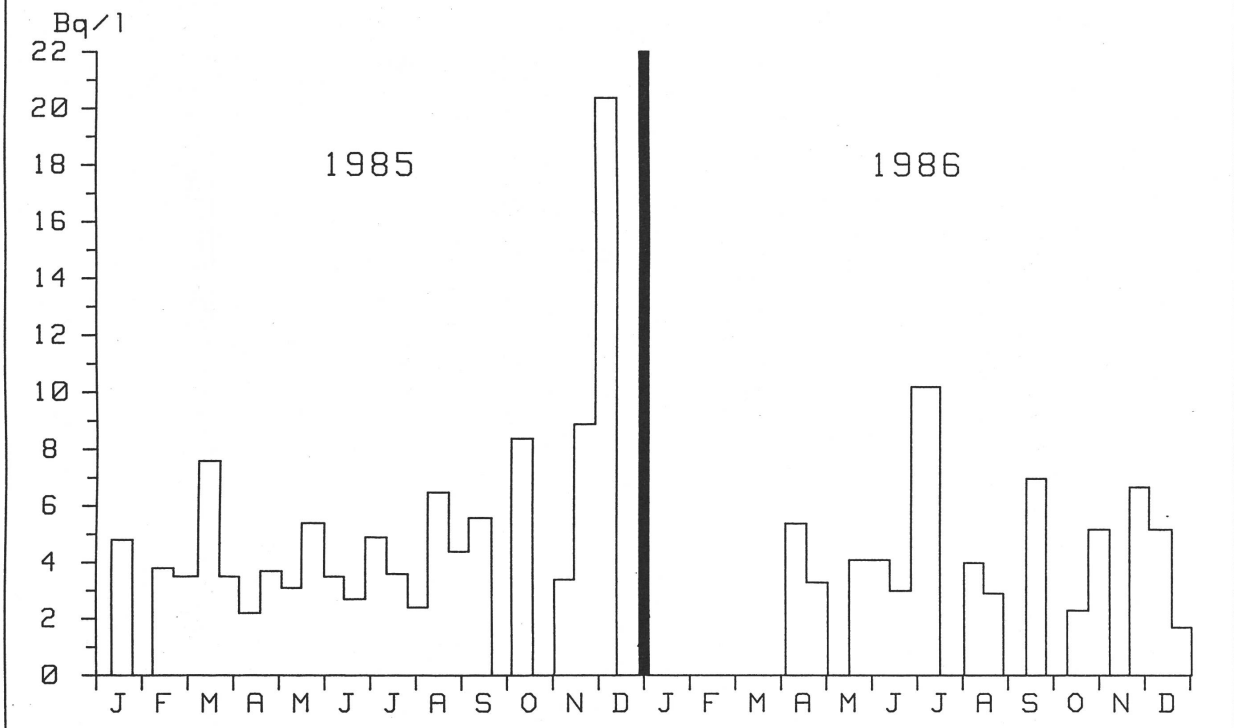


Fig. 3.6.a: Kohlenstoff-14 in Baumblättern  
an Referenzstationen

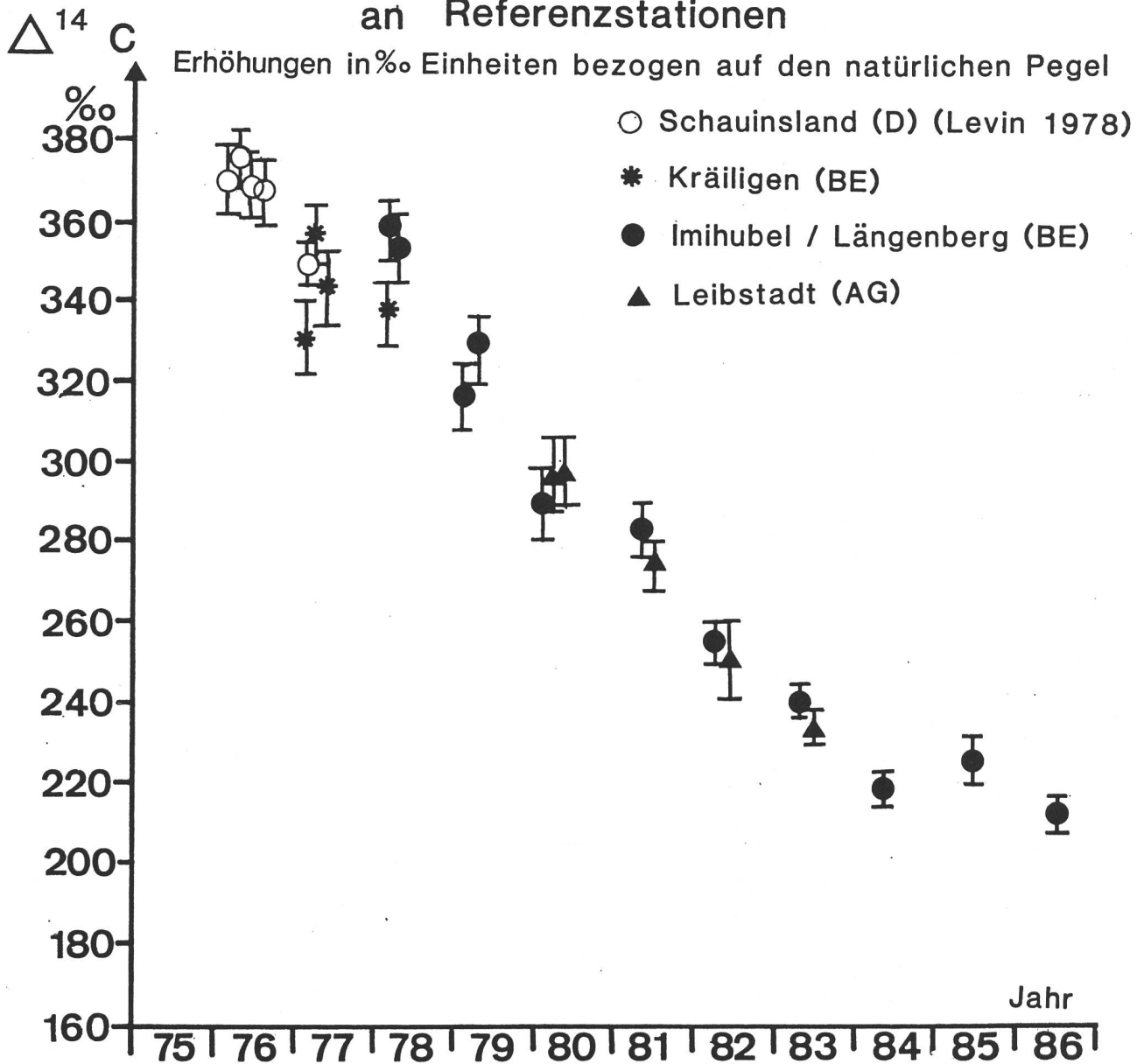


Fig. 3.6.b  $^{14}\text{C}$ -Konzentration um EIR Reaktor Saphir (netto)

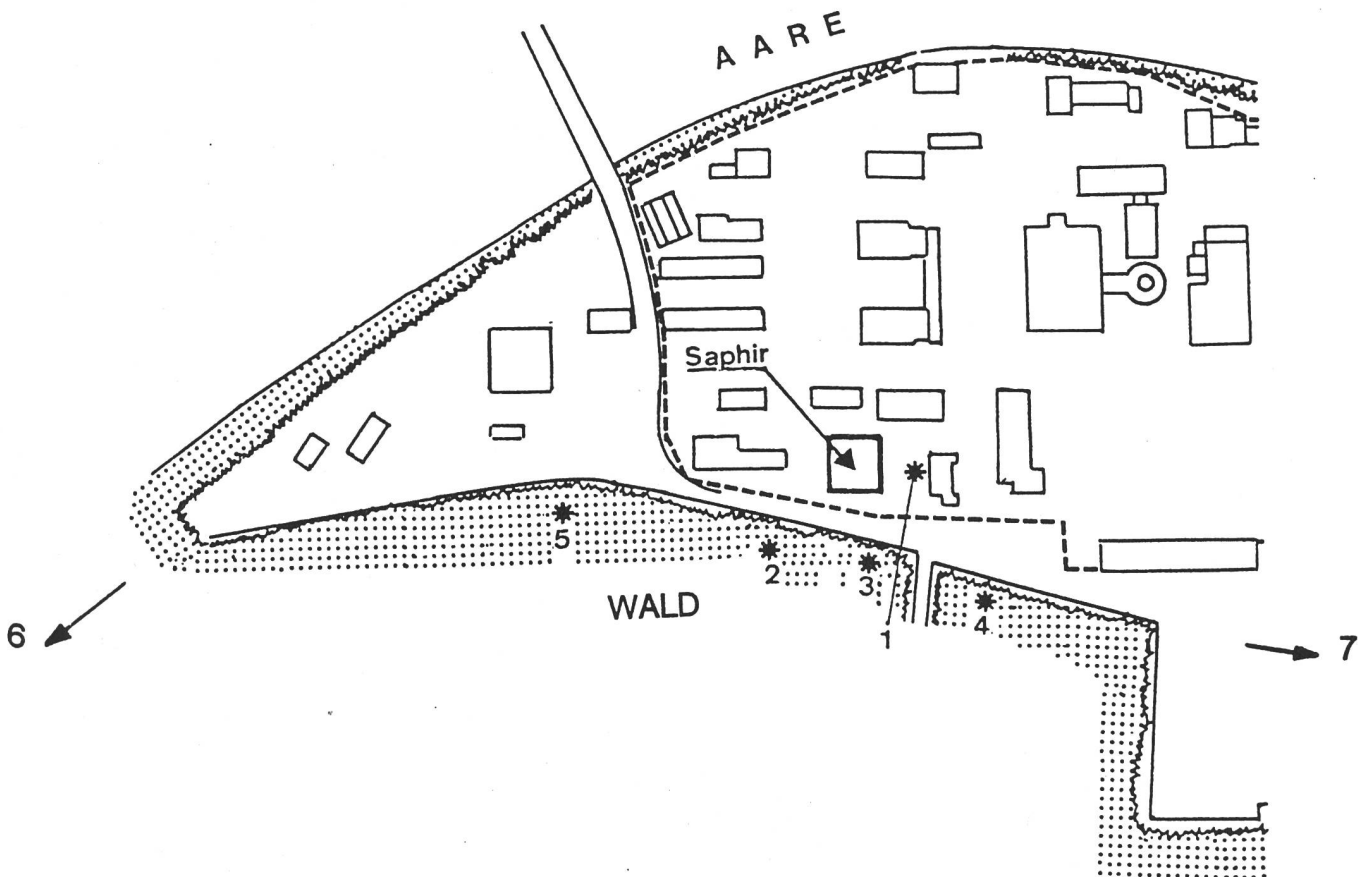
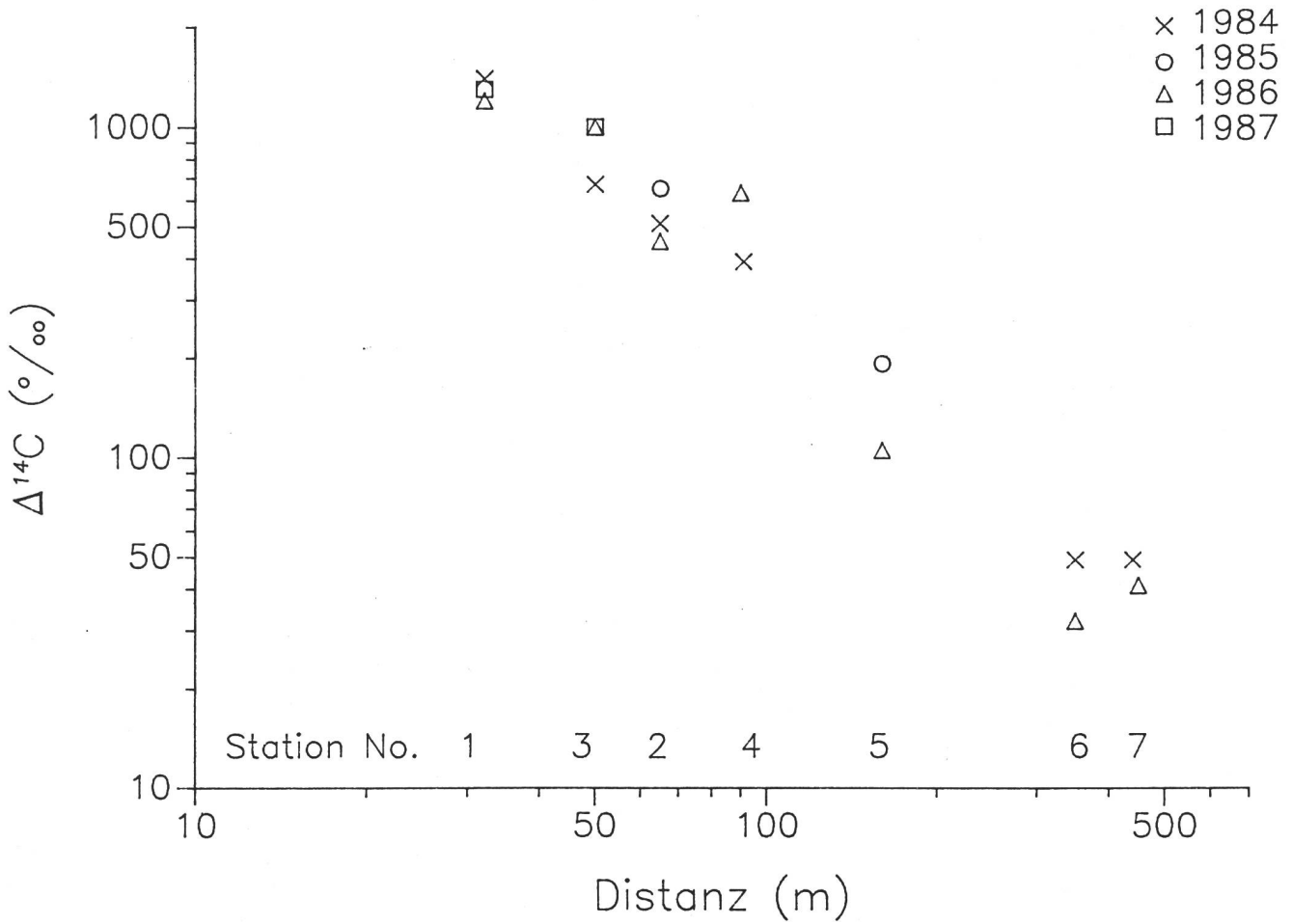


Fig. 3.6.c C-14 Messungen in der Umgebung des KKW Leibstadt

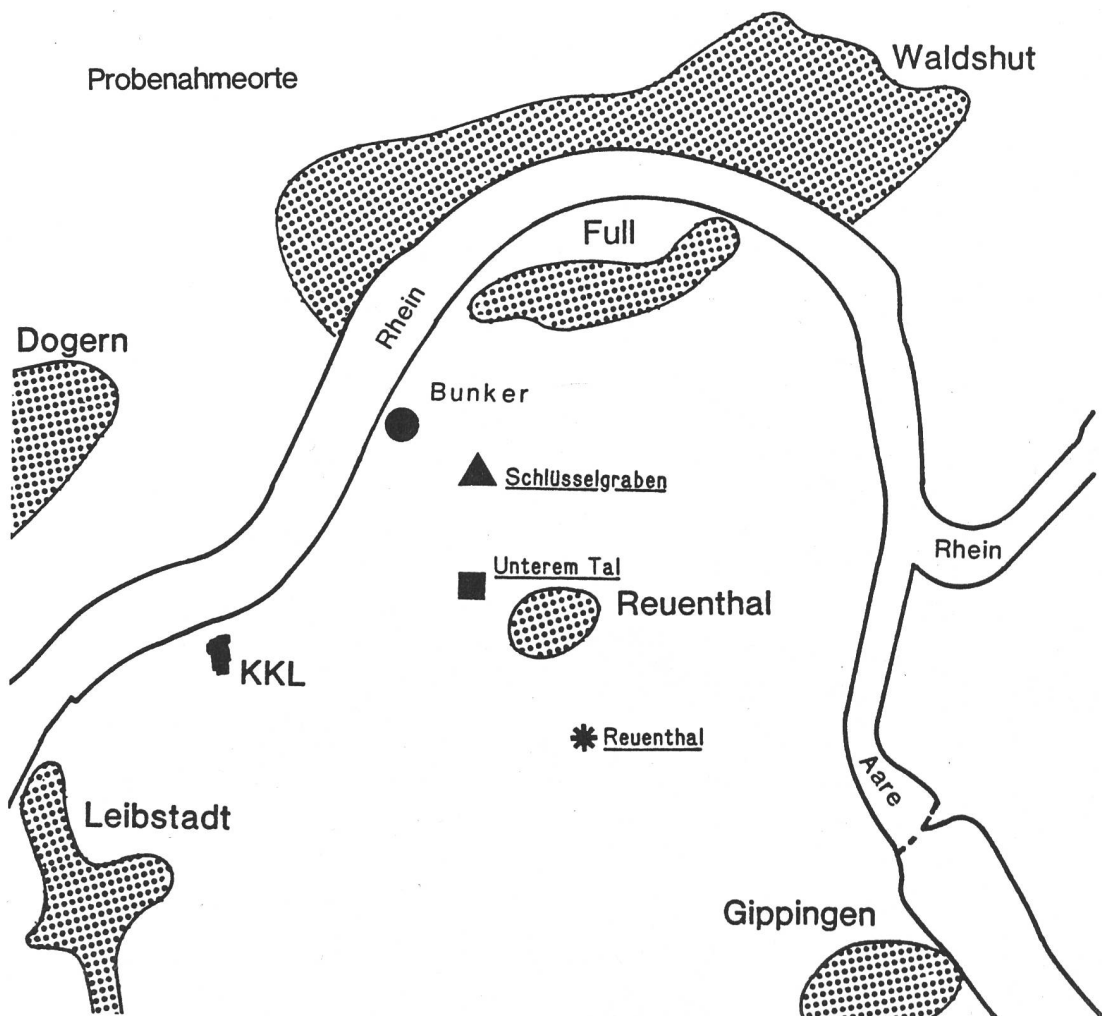
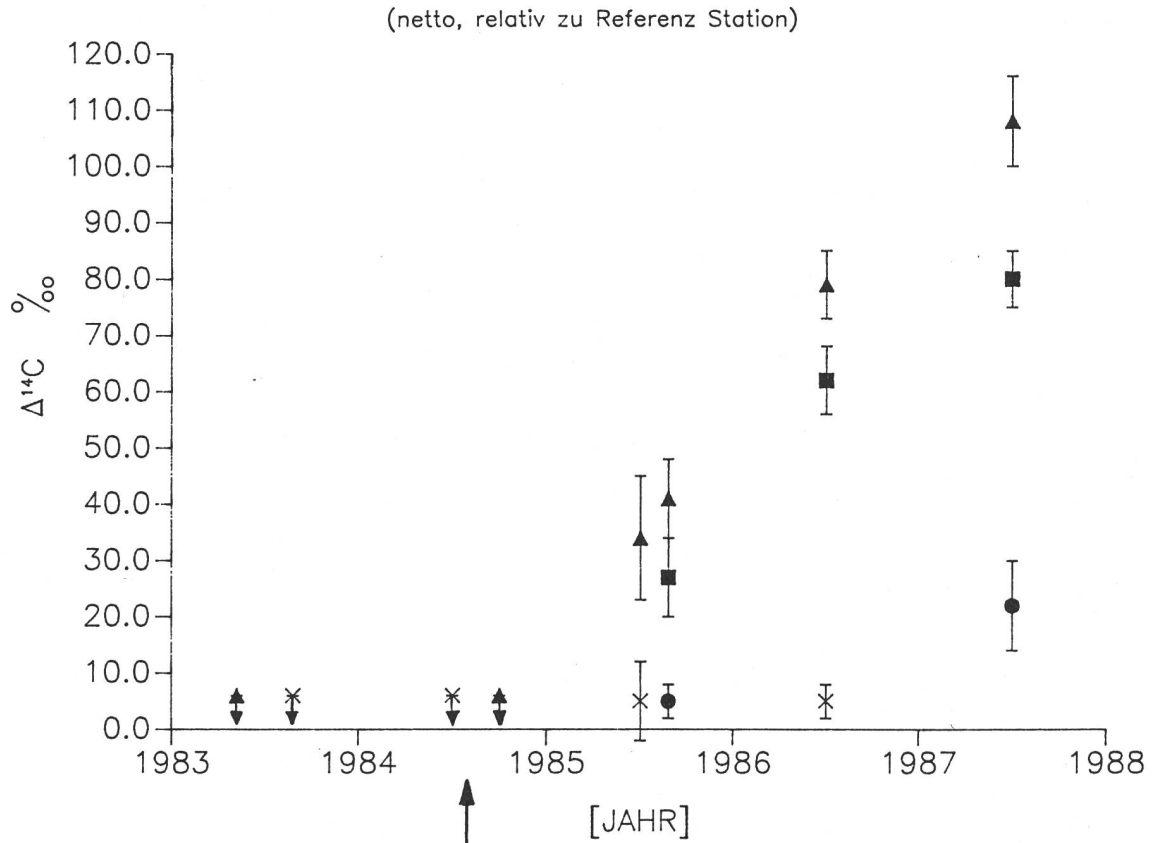
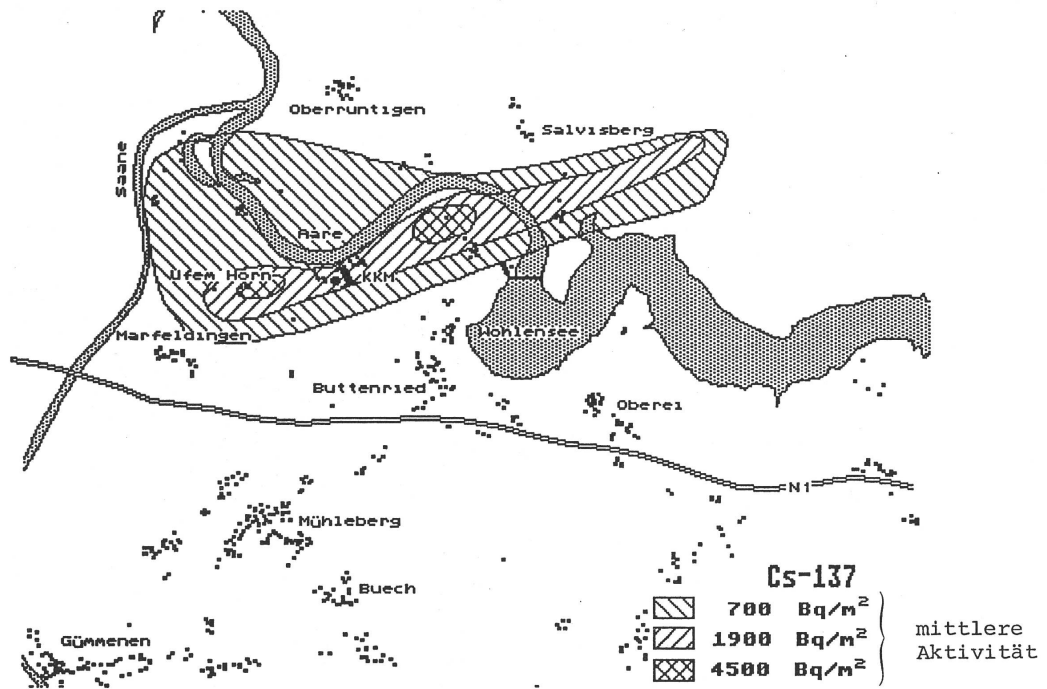
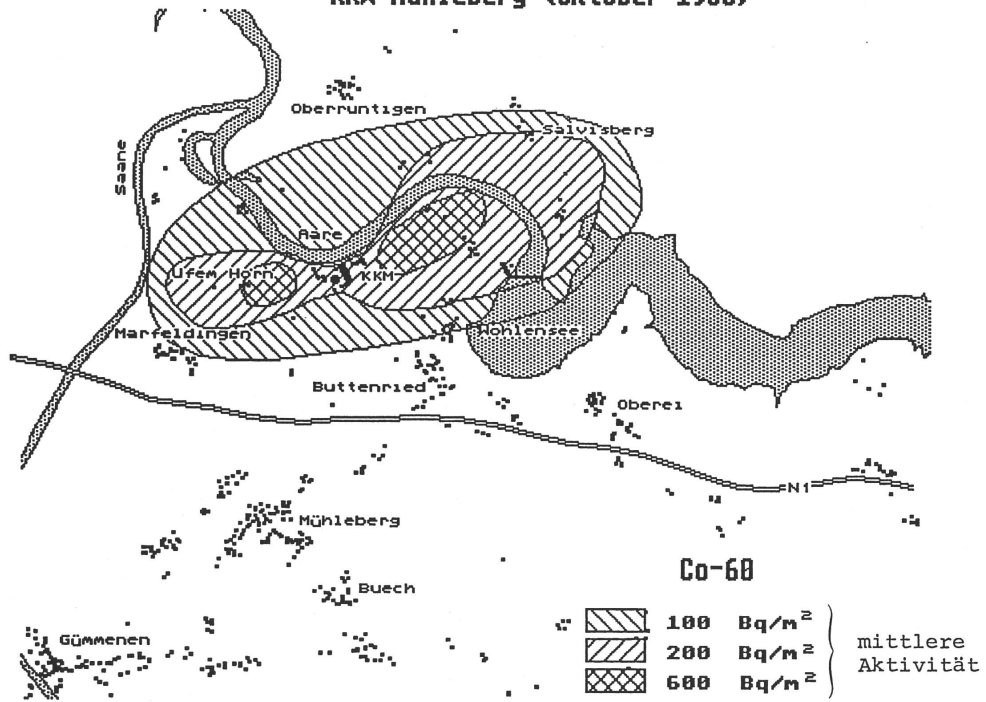


Fig.3.7.a: Cs-137-Ablagerungen in der Umgebung  
 KKW Mühleberg (Oktober 1986)



**Fig.3.7.b: Co-60-Ablagerungen in der Umgebung  
KKW Mühleberg (Oktober 1986)**



**Fig.3.7.c: Zn-65-Ablagerungen in der Umgebung  
 KKW Mühlerberg (Oktober 1986)**

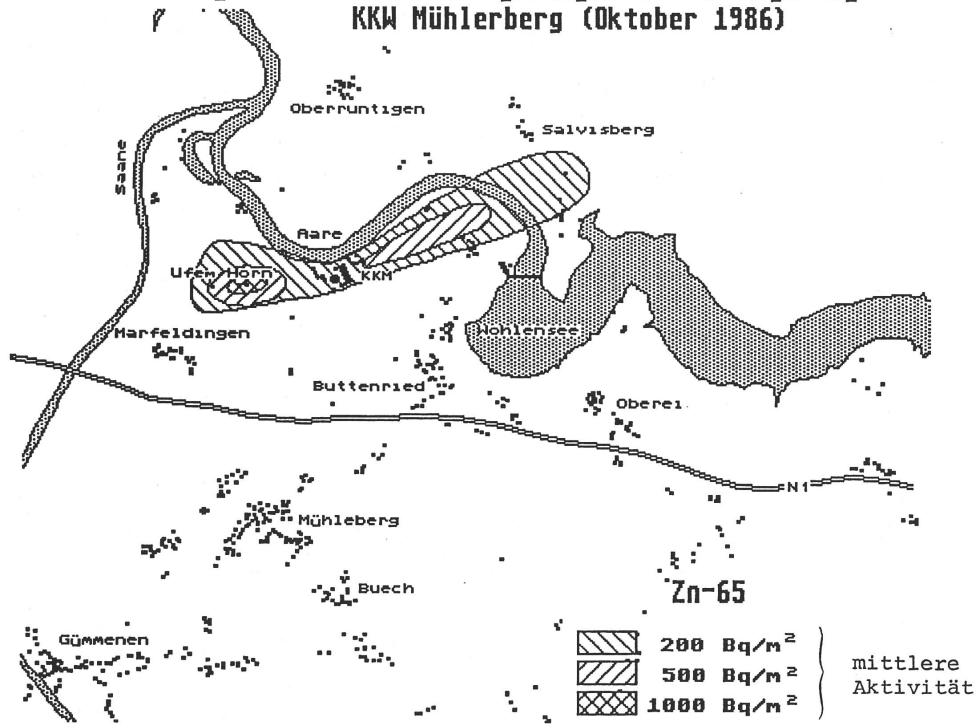
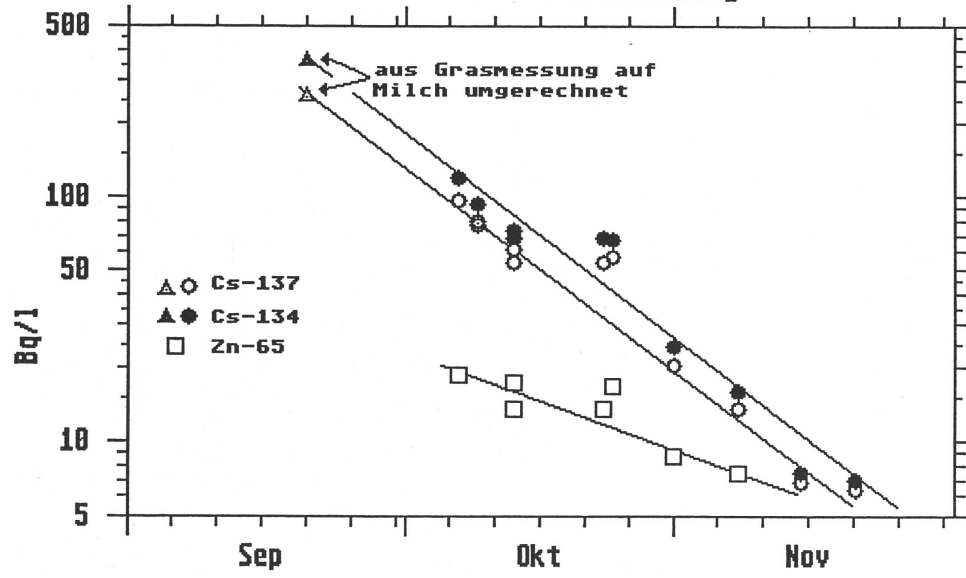
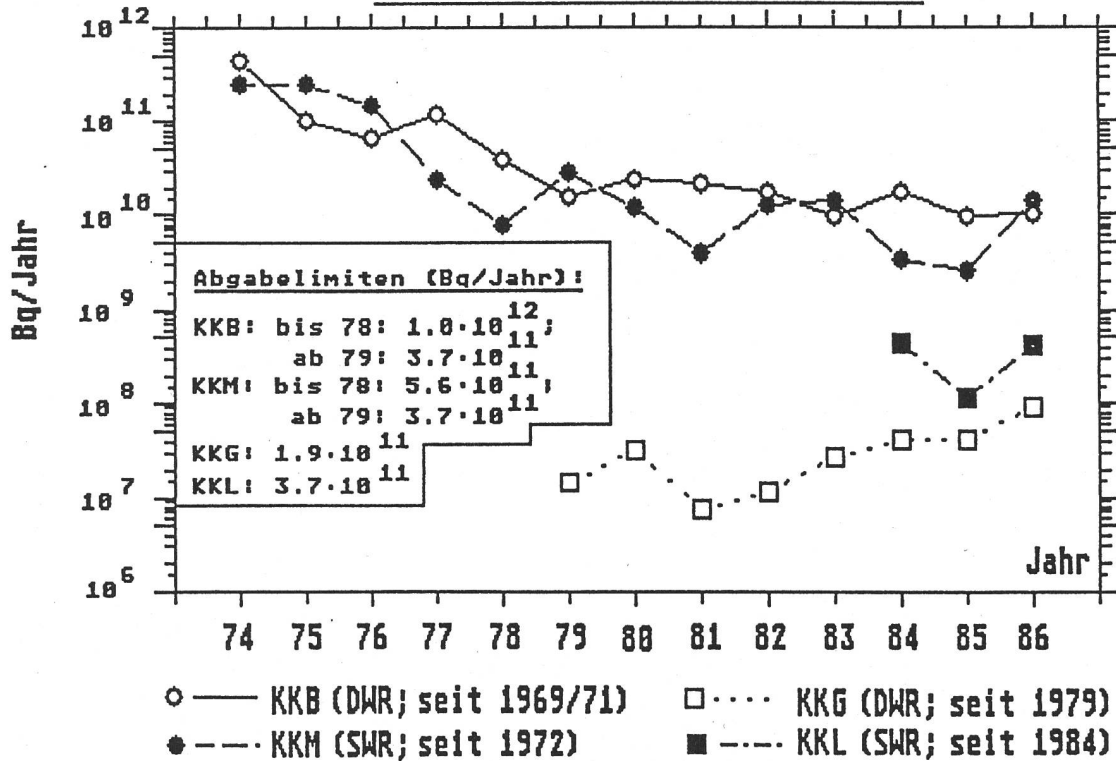


Fig.3.8: Radioaktivität in Frischmilch "ufem Horn" (Herbst 1986) beim KKW Mühleberg



**Fig. 3.9.a: Flüssige Abgaben der Kernanlagen:  
Abwasser (ohne Tritium) in Bq/Jahr**



**Fig. 3.9.b: Flüssige Abgaben der Kernanlagen:  
Abwasser: Tritium in Bq/Jahr**

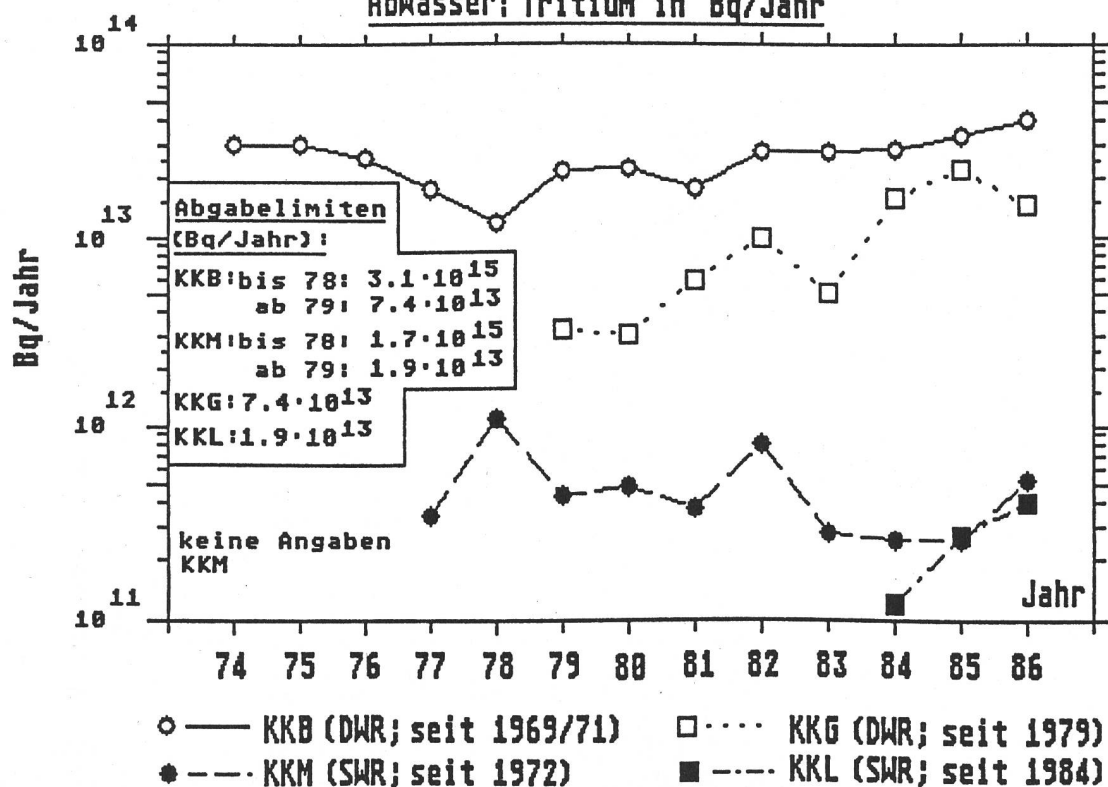


Fig. 3.9.c: Gasförmige Abgaben der Kernanlagen:  
Abluft: Edelgase in Bq/Jahr (Xe-133-Äquivalent)

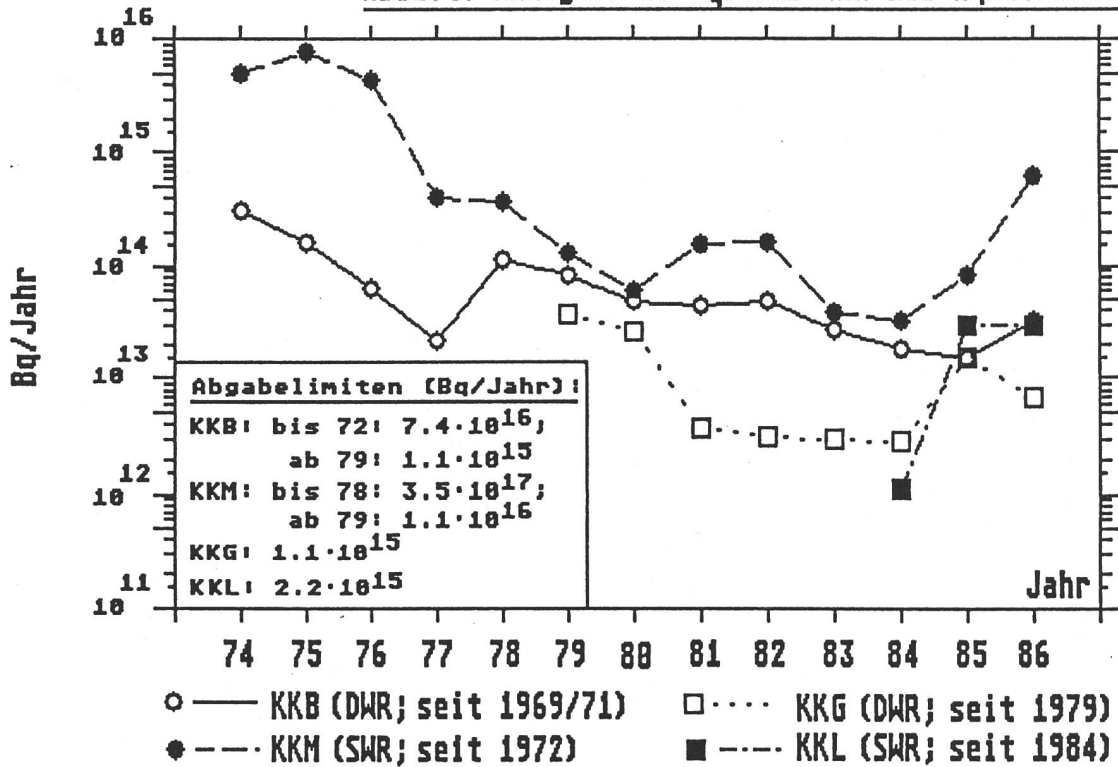
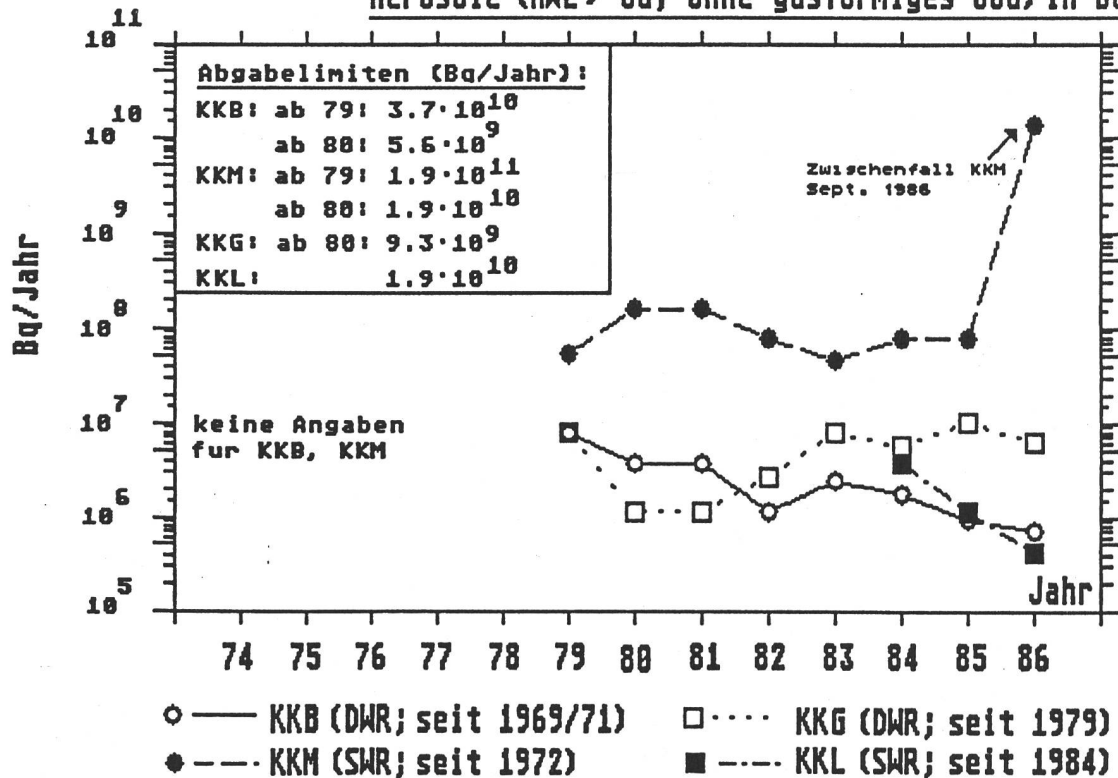
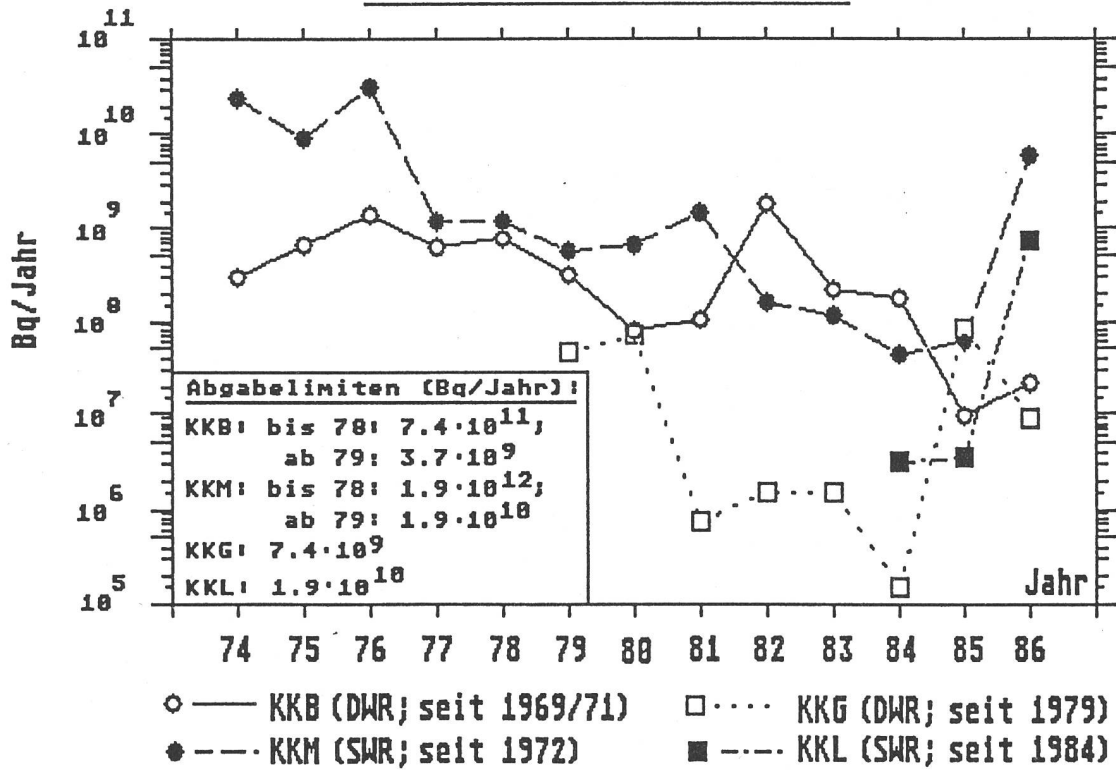


Fig. 3.9.d: Gasförmige Abgaben der Kernanlagen:  
Aerosole (HWZ > 8d; ohne gasförmiges Jod) in Bq/Jahr



**Fig. 3.9.e: Gasförmige Abgaben der Kernanlagen:  
Elementares Jod-131 in Bq/Jahr**



**Fig. 3.9.f: Maximale Personen-Dosen in  $\mu\text{Sv}/\text{Jahr}$  in der Umgebung der KKW**

